

ELECTRICAL MACHINES

高等学校教材

谢应璞 主编

电机学 上册

四川大学出版社



读者服务：8008699855或
02586631855或发短信至
移动：131159 联通：93319查真伪
四川大学出版社

ELECTRICAL MACHINES

谢应璞 主编

电机学 上册

四川大学出版社



责任编辑:韩果
封面设计:罗光
责任印制:杨丽贤

图书在版编目(CIP)数据

电机学(上、下册)/谢应璞主编. —成都: 四川大学出版社,
2007.7

ISBN 978-7-5614-3757-5

I. 电… II. 谢… III. 电机学—高等学校—教材 IV. TM3

中国版本图书馆 CIP 数据核字 (2007) 第 111749 号

书名 电机学(上、下册)

主 编 谢应璞
出 版 四川大学出版社
地 址 成都市一环路南一段 24 号 (610065)
发 行 四川大学出版社
书 号 ISBN 978-7-5614-3757-5/TM·1
印 刷 成都蜀通印务有限责任公司
成品尺寸 185 mm×260 mm
印 张 29
字 数 652 千字
版 次 2007 年 7 月第 1 版
印 次 2007 年 7 月第 1 次印刷
印 数 0 001~3 000 册
定 价 38.00 元 (上、下册)

◆ 读者邮购本书, 请与本社发行科
联系。电 话: 85408408/85401670/
85408023 邮政编码: 610065
◆ 本社图书如有印装质量问题, 请
寄回出版社调换。

◆ 网址: www.scupress.com.cn

版权所有◆侵权必究

前 言

本书是电力类各专业的大学本科教材,内容符合国家教委所规定的电力类电机学课程的基本要求。

按照电力类各专业的特点,本书主要阐述各类电机的基本原理、基本分析方法、运行特性和参数。

全书按照变压器、异步电机、同步电机和直流机的顺序分为上、下册。上册以变压器为重点,并将交流电机的共同基础部分作为一篇单独列出。下册以同步电机为重点,适当压缩直流电机内容。各章具有相对独立性,具体讲授时秩序可以改变。为了补充和加强学习电机的基础知识,特将磁性材料和磁路诸定律安排在绪论中讲授。

结合我国国情和学生实际,在编著本书过程中,力求做到由浅入深,循序渐进。尽量使物理概念清楚,叙述简洁易懂,便于学生阅读理解和掌握。为便于学生复习和自学,每章有小结、思考题和习题,书末附有习题答案。

本书是在原电机学试用教材的基础上,经过多年的教学实践,补充和修正试用教材中的不足,重新正式出版的。教材的各部分由以下教师编写:变压器由廖正菁副教授编写,直流电机由方康勋副教授编写,异步电机及本书的全部思考题及习题由曾德纯副教授编写,同步电机及其余部分由谢应璞教授编写。苏异德高工为本书编写了实验指示书。

本书由谢应璞教授主编,黄耀群教授主审,曾德纯副教授对全书文字图表和符号进行了终审和修正,并提供了习题答案。

本书编写过程中,得到教研室全体同志和电力系领导的大力支持和帮助,并提供了许多宝贵意见。许多同志为本书的编辑、排印和校对等工作都付出了辛勤的劳动,对此,编写者表示衷心的感谢。同时,本书在编写时博采众长,参阅和引用了有关专家关于电机学和电机理论的论述和文献资料,在此一并向有关作者致以谢意!

由于水平有限,时间仓促,错误和不当之处在所难免。欢迎读者指正。

编者

1994年

目 录(上册)

(00)	前言
(01)	第一章 变压器的类型和基本结构
(02)	第二章 变压器的基本原理及其运行特性
(03)	第三章 三相变压器
(04)	第四章 互感器
(05)	第五章 电气测量仪表
(06)	第六章 电动机
(07)	第七章 直流电机
(08)	第八章 电子技术基础
(09)	第九章 电气控制与PLC
(10)	第十章 电气工程制图
(11)	第十一章 电气设备及材料
(12)	第十二章 电气试验
(13)	第十三章 电气控制系统的PLC设计
(14)	第十四章 电气控制系统的单片机设计
(15)	第十五章 电气控制系统的嵌入式设计
(16)	第十六章 电气控制系统的FPGA设计
(17)	第十七章 电气控制系统的嵌入式设计
(18)	第十八章 电气控制系统的FPGA设计
(19)	第十九章 电气控制系统的嵌入式设计
(20)	第二十章 电气控制系统的FPGA设计
(21)	第二十一章 电气控制系统的嵌入式设计
(22)	第二十二章 电气控制系统的FPGA设计
(23)	第二十三章 电气控制系统的嵌入式设计
(24)	第二十四章 电气控制系统的FPGA设计
(25)	第二十五章 电气控制系统的嵌入式设计
(26)	第二十六章 电气控制系统的FPGA设计
(27)	第二十七章 电气控制系统的嵌入式设计
(28)	第二十八章 电气控制系统的FPGA设计
(29)	第二十九章 电气控制系统的嵌入式设计
(30)	第三十章 电气控制系统的FPGA设计
(31)	第三十一章 电气控制系统的嵌入式设计
(32)	第三十二章 电气控制系统的FPGA设计
(33)	第三十三章 电气控制系统的嵌入式设计
(34)	第三十四章 电气控制系统的FPGA设计
(35)	第三十五章 电气控制系统的嵌入式设计
(36)	第三十六章 电气控制系统的FPGA设计
(37)	第三十七章 电气控制系统的嵌入式设计
(38)	第三十八章 电气控制系统的FPGA设计
(39)	第三十九章 电气控制系统的嵌入式设计
(40)	第四十章 电气控制系统的FPGA设计
(41)	第四十一章 电气控制系统的嵌入式设计
(42)	第四十二章 电气控制系统的FPGA设计
(43)	第四十三章 电气控制系统的嵌入式设计
(44)	第四十四章 电气控制系统的FPGA设计
(45)	第四十五章 电气控制系统的嵌入式设计
(46)	第四十六章 电气控制系统的FPGA设计
(47)	第四十七章 电气控制系统的嵌入式设计
(48)	第四十八章 电气控制系统的FPGA设计
(49)	第四十九章 电气控制系统的嵌入式设计
(50)	第五十章 电气控制系统的FPGA设计
(51)	第五十一章 电气控制系统的嵌入式设计
(52)	第五十二章 电气控制系统的FPGA设计
(53)	第五十三章 电气控制系统的嵌入式设计
(54)	第五十四章 电气控制系统的FPGA设计
(55)	第五十五章 电气控制系统的嵌入式设计
(56)	第五十六章 电气控制系统的FPGA设计
(57)	第五十七章 电气控制系统的嵌入式设计
(58)	第五十八章 电气控制系统的FPGA设计
(59)	第五十九章 电气控制系统的嵌入式设计
(60)	第六十章 电气控制系统的FPGA设计
(61)	第六十一章 电气控制系统的嵌入式设计
(62)	第六十二章 电气控制系统的FPGA设计
(63)	第六十三章 电气控制系统的嵌入式设计
(64)	第六十四章 电气控制系统的FPGA设计
(65)	第六十五章 电气控制系统的嵌入式设计
(66)	第六十六章 电气控制系统的FPGA设计
(67)	第六十七章 电气控制系统的嵌入式设计
(68)	第六十八章 电气控制系统的FPGA设计
(69)	第六十九章 电气控制系统的嵌入式设计
(70)	第七十章 电气控制系统的FPGA设计
(71)	第七十一章 电气控制系统的嵌入式设计
(72)	第七十二章 电气控制系统的FPGA设计
(73)	第七十三章 电气控制系统的嵌入式设计
(74)	第七十四章 电气控制系统的FPGA设计
(75)	第七十五章 电气控制系统的嵌入式设计
(76)	第七十六章 电气控制系统的FPGA设计
(77)	第七十七章 电气控制系统的嵌入式设计
(78)	第七十八章 电气控制系统的FPGA设计
(79)	第七十九章 电气控制系统的嵌入式设计
(80)	第八十章 电气控制系统的FPGA设计
(81)	第八十一章 电气控制系统的嵌入式设计
(82)	第八十二章 电气控制系统的FPGA设计
(83)	第八十三章 电气控制系统的嵌入式设计
(84)	第八十四章 电气控制系统的FPGA设计
(85)	第八十五章 电气控制系统的嵌入式设计
(86)	第八十六章 电气控制系统的FPGA设计
(87)	第八十七章 电气控制系统的嵌入式设计
(88)	第八十八章 电气控制系统的FPGA设计
(89)	第八十九章 电气控制系统的嵌入式设计
(90)	第九十章 电气控制系统的FPGA设计
(91)	第九十一章 电气控制系统的嵌入式设计
(92)	第九十二章 电气控制系统的FPGA设计
(93)	第九十三章 电气控制系统的嵌入式设计
(94)	第九十四章 电气控制系统的FPGA设计
(95)	第九十五章 电气控制系统的嵌入式设计
(96)	第九十六章 电气控制系统的FPGA设计
(97)	第九十七章 电气控制系统的嵌入式设计
(98)	第九十八章 电气控制系统的FPGA设计
(99)	第九十九章 电气控制系统的嵌入式设计
(100)	第一百章 电气控制系统的FPGA设计

3-4 三相变压器的不对称运行	(66)
思考题	(77)
习 题	(77)
第四章 变压器的并联运行	(79)
4-1 变压器理想的并联条件	(79)
4-2 变比或组号不同时的并联运行	(80)
4-3 短路阻抗标么值不等时变压器的并联运行	(82)
4-4 变压器并联运行时负载分配的实用公式	(83)
思考题	(85)
习 题	(85)
第五章 变压器的瞬变过程	(87)
5-1 变压器的空载合闸	(87)
5-2 变压器副边突然短路	(90)
思考题	(93)
习 题	(93)
第六章 三绕组变压器和其它用途的变压器	(94)
6-1 三绕组变压器	(94)
6-2 自耦变压器	(102)
6-3 仪用互感器	(109)
思考题	(112)
习 题	(112)
第二篇 交流电机的绕组、电势和磁势	
第七章 交流电机的绕组	(114)
7-1 基本要求和分类	(114)
7-2 分析绕组时常用的几个基本量	(114)
7-3 三相单层绕组	(115)
7-4 三相双层迭绕组	(118)
7-5 三相双层波绕绕组	(121)
7-6 分类槽绕组	(122)
思考题	(123)
习 题	(123)
第八章 交流绕组的感应电势	(125)
8-1 导体中的感应电势	(125)
8-2 线圈中的感应电势和短矩系数	(126)
8-3 线圈组的电势和分布系数	(127)
8-4 一相绕组的电势	(128)
8-5 在非正弦分布磁场下绕组的谐波电势	(129)

8-6 减小谐波电势的方法	(130)
8-7 齿谐波电势和削弱谐波的方法	(132)
思考题	(134)
习题	(134)
第九章 交流绕组的磁势	(136)
9-1 单相绕组的磁势——脉振磁势	(136)
9-2 单相脉振磁势分解成两个旋转磁势	(141)
9-3 三相绕组的磁势——旋转磁势	(143)
思考题	(150)
习题	(151)
第三篇 异步电机	
第十章 异步电机的结构与运行状态	(152)
10-1 异步电动机的工作原理	(152)
10-2 异步电机的三种运行状态	(153)
10-3 异步电机的主要结构部件	(154)
10-4 异步电机的铭牌及额定值	(156)
思考题	(157)
习题	(158)
第十一章 异步电动机的运行原理	(159)
11-1 转子不动时的异步电动机	(159)
11-2 转子旋转时的异步电动机	(165)
11-3 等效电路的简化	(169)
思考题	(174)
习题	(175)
第十二章 异步电动机的电磁转矩及机械特性	(176)
12-1 异步电动机的能量转换、功率及转矩平衡方程式	(176)
12-2 电磁转矩与机械特性	(178)
12-3 最大转矩、过载能力和稳定运行区域	(179)
12-4 电磁转矩的实用公式	(182)
思考题	(185)
习题	(186)
第十三章 异步电动机正常情况与非正常情况下运行分析	(187)
13-1 异步电动机正常运行时的工作特性	(187)
13-2 异步电动机的参数测定、分析与计算	(189)
13-3 异步电动机的非正常情况下运行分析	(192)
13-4 异步电动机运行中节能对策	(198)
思考题	(200)

习题	(201)
第十四章 异步电动机的起动、调速和制动	(202)
14-1 异步电动机的起动性能和起动方法	(202)
14-2 鼠笼式异步电动机的起动	(203)
14-3 绕线式转子异步电动机的起动	(206)
14-4 深槽式和双鼠笼式异步电动机	(207)
14-5 异步电动机的调速	(209)
14-6 异步电动机的制动	(214)
思考题	(218)
习题	(219)
第十五章 单相异步电动机、异步发电机及特殊异步电机	(220)
15-1 单相异步电动机	(220)
15-2 异步发电机	(225)
15-3 两相伺服电动机	(227)
15-4 交流测速发电机	(229)
15-5 自整角机	(230)
思考题	(231)
习题	(232)
习题答案	(234)
主要符号表	(240)

绪论 1—0

0—1 引言

电能是现代生产中最主要的能源,它的产生、输送和使用是所有能源中最方便、最经济的一种。而电机(包括变压器)是电能的产生、输送和使用中不可缺少的设备。在工业、农业和交通运输业,乃至日常生活中,电机的应用已愈来愈广泛。

随着生产自动化水平的提高,电机已不仅是作为系统中的一个独立的元件来考虑了,它的参数、运行性能,乃至结构型式和组成,都与系统密切相关。电机在各种自控系统中,既是控制对象,又可以作为执行元件。控制系统的自动化程度愈高,电机的作用范围和功能就愈广。电机性能的好坏,直接关系到控制系统运行的稳定性、可靠性及其动态品质,乃至生产效率、产品质量等。要选择和使用好电机,首先必须掌握电机的理论、运行特性,特别是机电能量转换的原理。

衡量一个国家工业现代化水平的一个重要标准,就是机电一体化发展的程度。机电一体化的开拓除电子技术外,电机工业的发展尤为重要。

总的来说,电机的应用是非常广泛的,地面上、天空中、水底下,只要人们需要去征服的地方,都离不了电机。

电机的类型很多,其工作原理都基于电磁感应定律和电磁力定律。因此,电机构造的一般原理是:用适合的有效材料,构成能互相进行电磁感应的磁路和电路,产生电磁功率和电磁转矩,达到转换能量形态的目的。

电机的分类方法很多,按其功能可分为:

发电机(交流与直流),把机械能转换成电能;

电动机(交流与直流),把电能转换成机械能;

变压器、变频机、移相器等,分别用于改变电压、电流、频率和相位;

控制电机,用于控制系统中传递信号、执行指令等。

电机学是基础课向专业课过渡的一门技术基础课,内容上既有较强的理论,又必须联系实际。在分析电机电磁理论时,有些情况下可略去某些次要因素,抓住主要矛盾解决问题;但在另一些条件下,某些次要因素,又成为主要的了。因此,分析问题时必须以生产实际为依据,分清矛盾的主次,抓住主要因素讨论问题,这样所得结论,仍是符合工程实际的。这门课程的另一个特点是,涉及的学科知识面广,牵扯到的问题繁杂,诸如发热与冷却、机械、高压与绝缘、导电与导磁材料等,学习中要求具有较宽的知识面和较强的综合分析问题能力。

总之,电机学课程是理论性、实践性和综合性均较强的一门课程,学习时应重视基本物理概念,强调联系工程实际,要熟悉数学计算方法,掌握实验技能,重视理论与实际相

结合,方能收到良好的学习效果。

0-2 铁磁材料的基本特性

一、铁磁材料的磁滞回线与基本磁化曲线

铁磁材料包括铁、钴、镍及其合金。

电机和电器中作为导磁的铁芯,在受线圈交流电激励时,受到反复磁化和去磁的作用,在此过程中,磁场强度(亦称磁化力) H 往复地在一个正的最大值($+H_m$)和一个负的最大值($-H_m$)之间变化,如图 0-1 所示。如果铁磁材料最初是以完全去磁的零状态开始,则初次磁化过程的磁通密度(亦称磁感应强度) B 是沿着“起始磁化曲线”随 H 值的增加而上升。当到达图 0-1 所示 a_1 点时,磁通密度达最大值($+B_m$),与之相应的磁场强度为($+H_m$)。随后转入去磁过程,当 H 值从($+H_m$)开始减小时, B 并不按原来的起始磁化曲线减小,而是沿着另一条曲线 a_1b 下降。当 H 值降到零时, B 并未回到零值,直到 H 值过零后向相反方向增加, B 值继续下降,直到 H 在“负”方向达到某一个值时, B 值才下降到零,此后, H 继续向负值方向增加,铁磁材料开始被反方向磁化,磁化过程沿图示 cd_1 曲线进行。当反方向磁场强度达负的最大值($-H_m$)时,磁通密度达到图中 d_1 点($-B_m$)。以后,磁场强度又从($-H_m$)值开始减小,铁磁材料处于反方向去磁,该去磁过程沿图示 d_1e 曲线进行,直到 H 值减至零, B 值仍不为零, e 点并不与坐标原点重合。若 H 又从零开始向正值方向增加,铁磁材料又重复正方向的磁化过程。如此继续正方向的磁化与去磁,和反方向的磁化与去磁,经多次循环以后,形成对称于坐标原点的闭合回线,如图中 $a_1bcd_1efa_1$,称磁滞回线。

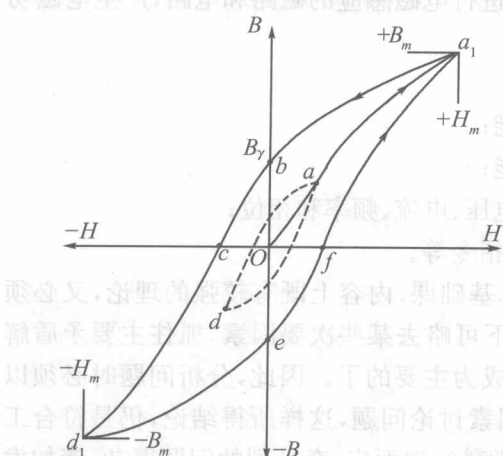


图 0-1 磁滞回线

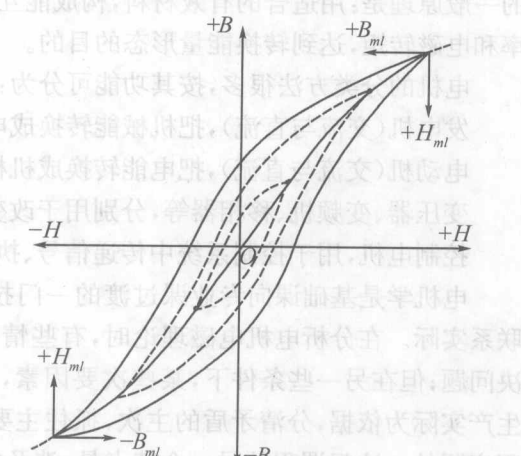


图 0-2 基本磁化曲线

工程实用中,通常就 B 与 H 的函数关系,取不同的 H_m 值,得到若干个对称于坐标原点的磁滞回线,由各回线的顶点确定出不同 H_m 相应的 B_m 值,把这些点联接起来,就是铁磁材料的基本磁化曲线,简称为“ B - H 曲线”,如图 0-2 所示。工程上把铁磁材料

的 $B-H$ 曲线作为电机理论分析和设计计算的依据。由于该曲线在坐标的第一、第三象限中都是对称的，通常只取第一象限的这一段来表征铁磁材料的磁化特性。

二、铁磁材料的特性

1. 磁滯性

从图 0-1 可以看出对应同一磁场强度 H 值，在去磁过程中的磁通密度 B ，比磁化过程中的磁通密度 B 要大一些。如果要达到同一 B 值，还需要去磁得再多一点。可见磁通密度 B 的变化滞后于磁场强度 H 的变化。铁磁材料所具有的这种特点，叫作“磁滞现象”。在图 0-1 中 Ob 段叫“剩余磁通”，简称剩磁 B_r 。使 B 值达零时的 H 值称“矫顽力”为图 0-1 中的 Oc 段。 B_r 和 H_c 是铁磁材料的两个重要参数。

按磁滞回线形状的不同，铁磁材料又可分为软磁材料和硬磁材料两大类。磁滞回线窄，剩磁 B_r 和矫顽力 H_c 都小的材料称为软磁材料，如铸铁、钢、硅钢片等。软磁材料的导磁率较高，可用来制造电机和变压器铁心。磁滞回线宽， B_r 和 H_c 都大的材料称为硬磁材料。硬磁材料有铁氧体、铝镍钴和稀土三大类，其中稀土永磁材料是近年发展的新材料，其 B_r ， H_c 和 $(BH)_m$ 都很大，是一种性能优异的永磁材料。采用稀土永磁材料研制永磁电机是电机学科当前的发展方向之一。

2. 饱和性

图 0-3 中曲线 1 为任一铁磁材料的 $B-H$ 曲线，可粗略地分为三段，设最初磁化是从剩磁为零开始，随 H 的增加 B 缓慢上升，如图中 oa 段。之后，随 H 的增加 B 值便迅速增加， B 与 H 近似成正比关系变化，如图中 ab 段。再以后，随着 H 的增加 B 的增加又缓慢下来。如图中 bc 段。过 c 点以后， H 再增加， B 值增加得愈来愈小。与各段相应的导磁系数 $\mu_{Fe} = B/H$ 也随 H 的变化而变化。如图 0-3 中曲线 2 所示，在不饱和段内， μ_{Fe} 随 H 的增加而增加，在饱和段内， μ_{Fe} 则随 H 的增加而减小。磁化曲线呈现上述变化的原因是，在 oa 段由于外磁场较弱，顺着外磁场方向的磁畴刚开始扩大，逆着外磁场方向的磁畴在缩小，因而 B 值增加较缓慢。在 ab 段，外磁场已较强，虽然磁畴的扩大与缩小仍在继续进行，但逆着外磁场方向的磁畴已开始倒转到与外磁场的方向一致了，故 B 随 H 的增加迅速上升。在 bc 段，当外磁场在增强时，由于铁磁材料内部的磁畴几乎全部都转到与外磁场方向一致，即使再增强外磁场，铁磁材料的附加磁场已达到最大值，因而 B 值的增加也很有限，所以出现了磁饱和现象。对于结构和尺寸相同，但铁磁材料不

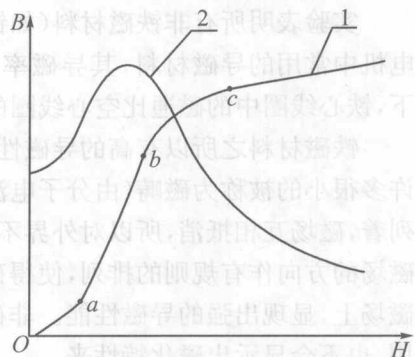


图 0-3 铁磁材料的磁化曲线

1—磁化曲线；

2— μ_{Fe} 随 H 变化的曲线。

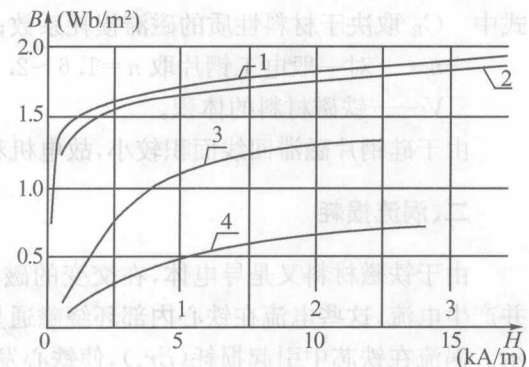


图 0-4 不同材料的 $B-H$ 曲线

1—电枢用硅钢片；2—高电阻硅钢片；

3—钢；4—铸铁

同的磁路达到磁饱和段所需要的磁场强度 H 值亦不相同。如图 0-4 所示。

3. 高导磁性

实验表明所有非铁磁材料(如铝、铜等)的导磁率都接近于真空的导磁率 μ_0 , 而对于电机中常用的导磁材料, 其导磁率 $\mu_{Fe} = (2000 \sim 6000)\mu_0$, 因此在同样大小的励磁电流下, 铁心线圈中的磁通比空心线圈的磁通大得多。

铁磁材料之所以有高的导磁性能, 是因为磁性材料不同于其他物质。在它的内部有许多很小的被称为磁畴(由分子电流产生的)的磁化区。磁化前, 这些磁畴杂乱无章地排列着, 磁场互相抵消, 所以对外界不显示磁性。但在外界磁场的作用下, 这些磁畴沿外界磁场的方向作有规则的排列, 使得磁场不能互相抵消, 从而形成一个附加磁场迭加在外磁场上, 显现出强的导磁性能。非磁性材料没有这种自身存在的磁畴, 即使受外磁场作用, 也不会显示出磁化特性来。

0-3 磁性材料的铁损耗

在带铁芯的交流线圈中, 除线圈电阻上的功率损耗(称为铜损耗)外, 处于反复磁化下的铁芯中也要产生功率损耗, 该损耗以发热的方式表现出来, 称为铁磁损耗(简称铁损耗)。铁损耗是由磁滞现象及涡流作用产生的。

一、磁滞损耗

铁磁材料在交流磁场作用下, 产生正、反方向的交替磁化过程, 材料内部磁畴之间不停地相互摩擦, 引起铁磁材料发热, 消耗功率, 这种按线圈交流电流频率反复磁化而引起的铁损耗, 称为磁滞损耗。磁滞回线面积愈大, B_m 值亦愈大, 磁滞损耗愈大。通入线圈交流激磁电流的频率愈高, 损耗亦愈大。

经理论分析和试验证明, 磁滞损耗可用下式表示为

$$p_n = C_R f B_m^n V \quad (0-1)$$

式中 C_R 取决于材料性质的磁滞损耗系数;

n —对一般电工钢片取 $n=1.6 \sim 2.3$;

V —铁磁材料的体积。

由于硅钢片磁滞回线面积较小, 故电机和变压器常用硅钢片迭成。

二、涡流损耗

由于铁磁材料又是导电体, 在交变的磁场作用下, 变化的磁通在铁心中将感应电势并产生电流, 这些电流在铁心内部环绕磁通呈旋涡状流动, 故称为“涡流”。如图 0-5 所示。涡流在铁芯中引起损耗($i_e^2 r_e$), 使铁心发热。

为了减小涡流损失, 交变磁路的铁心都是用电工钢片迭成, 并在片间涂上绝缘, 限制涡流只在较小截面内流通以形成较大电阻。不言而喻, 频率越高, 磁通密度越大, 感应电动势就愈大, 涡流损耗亦越大; 铁磁材料的电阻率越大, 涡流所经过的路径越长, 涡流损耗就越小。对于由硅钢片迭成的铁心, 理论分析和试验表明, 涡流损耗 p_e 为

$$p_e = \frac{1}{6} \gamma \pi^2 \Delta^2 f^2 B_m^2 V \quad (0-2)$$

式中 γ —磁性材料的导电系数；

V —磁性材料的体积；

Δ —钢片厚度。

由式 0-2 可见，涡流损耗与磁性材料的导电系数 γ 成正比。在电工钢中由于渗入了硅，其导电系数大大减小。

涡流损耗还与钢片厚度 Δ 的平方成正比。因此，将硅钢片压得很薄是减低涡流损耗极有效的办法。

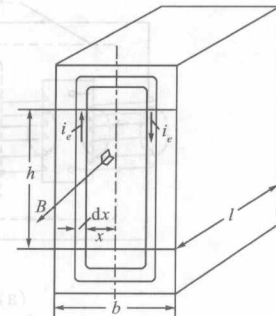


图 0-5 涡流损耗

三、铁心损耗

铁心中磁滞和涡流损耗之和，称为铁心损耗，用 p_{Fe} 表示。

当磁性材料、体积、厚度均为一定时，铁损耗 p_{Fe} 为

$$p_{Fe} = p_h + p_e = (C_n f B_m^n + C_e f^2 B_m^2) V \quad (0-3)$$

对于一般电工钢片，在正常工作磁通密度范围内 ($1 \text{ T} < B_m < 1.8 \text{ T}$)，式(0-3)可近似写成

$$p_{Fe} \approx C_{Fe} f^{1.3} B_m^2 G \quad (0-4)$$

式中 C_{Fe} 为铁心损耗系数； G 为铁心重量。式(0-4)表明，总的铁心损耗与频率的 1.3 次方、磁通密度的平方和铁心重量成正比。

0-4 磁路

电机和变压器都是利用磁场作为介质来实现能量变换的装置。除某些特殊电机的

磁场是用永久磁铁产生的以外，在大多数情况下，磁场都是用电流来产生的。利用具有良好导磁性能的材料，把磁场集中在一定范围内就形成磁路。由于磁通的变化要引起电势的变化，因此在学习电机之前，除应对铁磁材料的基本性质有所了解外，还应掌握磁路和电磁感应等基本定律。

磁路问题是局限于一定路径内的磁场问题，因此对电机的专门研究，应该运用电机电磁场理论来分析。在工程运用上为了分析问题简便，把本是场的问题等效为路的问题来研究，这是允许的。因此一般而言，磁场的基本物理量也适用于磁路，至于场和路二者的差别，如饱和、介质温度等影响将在遇到具体问题时加以说明。

图 0-6(a) 和 (b) 为两种常见的磁路。

由于铁心导磁性能比空气好得多，因此，磁通绝大部分是在铁心内通过，称为主磁通，相应路径称为主磁路；少量经过部分铁心和空气而闭合的磁通，称为漏磁通，相应的路径称为漏磁路。

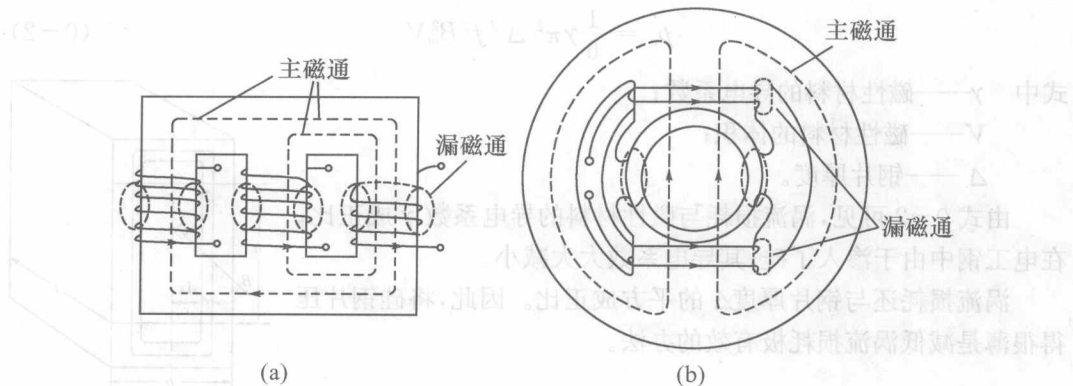


图 0-6 两种常见磁路

(a) 变压器磁路 (b) 二极直流电机磁路

用来产生磁通的电流叫励磁电流(激磁电流)。由励磁电流的性质不同又分为直流磁路和交流磁路,图 0-6 中(a)为交流磁路,(b)为直流磁路。

0-5 磁路的基本定律

磁路的分析和计算如同电路的分析和计算一样,可以通过一些基本定律来进行。在电机研究中,以下几条定律是常要用到的。

一、安培环路定律

安培环路定律(又称全电流定律)告诉我们:在磁路中,沿任一闭合路径,磁场强度矢量的线积分,等于与该闭合路径交链的电流的代数和。用公式表示,即

$$\oint \mathbf{H} \cdot d\mathbf{l} = \sum I \quad (0-5)$$

当电流的方向与闭合路径的积分方向符合右螺旋定则时,式(0-5)中电流 I 的前面取(+)号,反之取(-)号。将此定律应用于图 0-7 所示磁路中,取中心线即平均长度的磁力线回路为积分回路,由于中心线上各点的磁场强度矢量的大小相同,其方向又与 $d\mathbf{l}$ 的方向一致,故

$$\oint \mathbf{H} \cdot d\mathbf{l} = \oint H dl = H \oint dl = HI \quad (0-6)$$

电流的代数和 $\sum I$ 则等于线圈的匝数 w 与电流 I 的乘积,因此

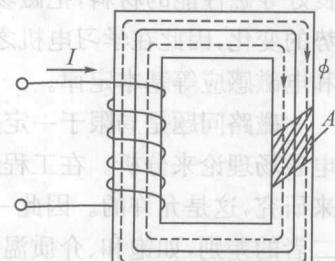


图 0-7 无分支磁路

二、磁路的欧姆定律

由于磁场强度等于磁通密度除以导磁率,即 $H = \frac{B}{\mu}$,且在均匀磁场中 $B = \frac{\phi}{A}$

故式(0-6)可以写成

$$(0-8) \quad Hl = \frac{B}{\mu} l = \frac{\phi}{\mu A} l = \phi \frac{l}{\mu A} = \phi R_m$$

或

$$F = wI = Hl = \phi R_m = \frac{\phi}{A} l \quad (0-9)$$

式中 F —磁路的磁动势,它是造成磁路中有磁通的根源,简称磁势。单位为安匝或(A);

$$R_m = \frac{l}{\mu A} \text{—磁路的磁阻;}$$

$$A = \frac{1}{R_m} \text{—磁路的磁导。}$$

式(0-9)称为磁路的欧姆定律。它表明作用在磁路上的总磁动势 F 等于磁路内的磁通量 ϕ 与磁路磁阻 R_m 的乘积。

三、磁路的克希荷夫第一定律

如果铁心不是一个简单的回路,而是带有并联分支的分支磁路,从而形成磁路的节点,则当忽略漏磁通时,在磁路任何一个节点处,磁通的代数和恒等于零,即

$$\sum \phi = 0 \quad (0-10)$$

式(0-10)与电路第一定律 $\sum i = 0$ 形式上相似,因此称为磁路的克希荷夫第一定律,也称为磁通连续性定律。若令流入节点的磁通定为(+),则流出该节点的磁通定为(-)。如图 0-8 所示的节点 N 处有

$$\phi_1 - \phi_2 - \phi_3 = 0$$

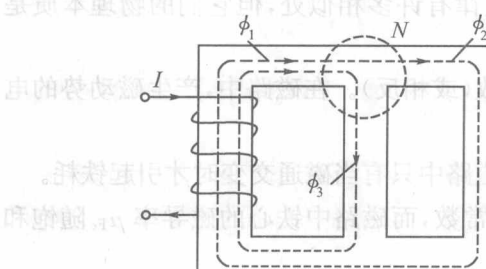


图 0-8 分支磁路

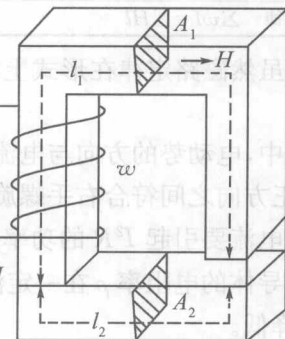


图 0-9 不同磁阻磁路

四、磁路的克希荷夫第二定律

工程上遇到的磁路并不都是用同一种铁磁物质构成的,而且还可能含有气隙,各处的截面积也不相同,如图 0-9 所示的三段磁路,分别由磁导率为 μ_1, μ_2 的导磁材料和气隙组成,对这种无分支磁路,应用全电流定律可得

$$(0-11) \quad wI = \sum_{n=1}^3 H_n l_n = H_1 l_1 + H_2 l_2 + H_\delta \delta$$

或

见第10页(0-1)左端

$$(0-12) \quad \sum wI = \sum Hl \quad (0-12)$$

式(0-12)表明,在磁场的任何一个闭合回路中,磁压降的代数和等于磁动势的代数和,磁场的方向与回路环行方向一致时, Hl 前取(+)号,否则取(-)号;电流的方向与回路环行方向符合右手螺旋定则时, wI 前取(+)号,否则取(-)号。从与电路定律 $\sum E = \sum U$ 形式上相似的观点,公式(0-12)称为磁路的克希荷夫第二定律。

表 0-1 磁路与电路形式上的相似关系

一、物理量			电 路		
磁 路		名称	常用符号	名称	通用单位
名称	常用符号	通用单位			
磁动势	F	安匝(A)		电动势	E 伏(V)
磁通量	ϕ	韦伯(Wb)		电流	I 安(A)
磁感应强度	$B (= \frac{\phi}{S})$	韦伯/平方米(Wb/m ²)		电流密度	$J (= \frac{I}{\Delta})$ 安/平方厘米(A/mm ²)
磁阻	$R_m (= \frac{l}{\mu A})$	1/亨(H ⁻¹)		电阻	$R (= \frac{l}{\gamma S})$ 欧(Ω)
磁导	$\Lambda (= \frac{1}{R_m})$	亨(H)		电导	$G (= \frac{1}{R})$ 乏(Var)
二、基本定律					
磁路			电 路		
1. 欧姆定律	$F = \phi R_m$			$E = IR$	
2. 克希荷夫第一定律	$\sum \phi = 0$			$\sum i = 0$	
3. 克希荷夫第二定律	$\sum wI = \sum Hl$			$\sum E = \sum IR = \sum U$	

应当指出,虽然磁路定律在形式上与电路定律有许多相似处,但它们的物理本质是有区别的:

(1)在电路中,电动势的方向与电流方向一致(或相反)。在磁路中,产生磁动势的电流与磁动势的正方向之间符合右手螺旋关系。

(2)电路中电流要引起 $I^2 R$ 的功率损耗,而磁路中只有当磁通交变时才引起铁耗。

(3)电路中导体的电阻率 ρ 在一定温度下是常数,而磁路中铁心的磁导率 μ_{Fe} 随饱和程度的增加而降低。

(4)在线性电路中,计算时可以应用迭加原理,在磁路中,只有在不考虑饱和效应时才能应用迭加原理。而随着磁密的增高,具有铁心的磁路必然越来越饱和。

表 0-1 列出磁路与电路形式上的相似关系。

例 0-1 有一闭合铁心,截面积 $A = 3 \times 3 \times 10^{-4} \text{ m}^2$,磁路的平均长度 $l = 0.3 \text{ m}$,铁心的磁导率 $\mu_{Fe} = 5000\mu_0$,励磁绕组有 500 匝。试求在铁心中产生 $1 \text{ Wb}/\text{m}^2$ 的磁通密度时所需的励磁磁势和励磁电流。

注:1 特斯拉(T)=1 韦伯/平方米(Wb/m²),1 每亨(H⁻¹)=1 安/韦伯(A/Wb)

解 本题可用磁路的欧姆定律或安培环路定律求解。

(1)用磁路的欧姆定律

$$\text{磁通量 } \phi = BA = 1 \times 9 \times 10^{-4} \text{ Wb}$$

$$\text{磁阻 } R_m = \frac{1}{\mu_{\text{Fe}} A} = \frac{0.8}{5000 \times 4\pi \times 10^{-7} \times 9 \times 10^{-4}} = 5.3 \times 10^4 \text{ A/Wb}$$

$$\text{磁势 } F = \phi R_m = 9 \times 10^{-4} \times 5.3 \times 10^4 = 47.7 \text{ A}$$

$$\text{励磁电流 } i = \frac{F}{w} = \frac{47.7}{500} = 9.54 \times 10^{-2} \text{ A}$$

(2)用安培环路定律

$$\text{磁场强度 } H = \frac{B}{\mu_{\text{Fe}}} = \frac{1}{5000 \times 4\pi \times 10^{-7}} = 159 \text{ A/m}$$

$$\text{磁势 } F = Hl = 159 \times 0.3 = 47.7 \text{ A}$$

$$\text{励磁电流 } i = \frac{F}{w} = \frac{47.7}{500} = 9.5 \times 10^{-2} \text{ A}$$

例 0-2 若在例 0-1 的磁路中,开一个长度 $\delta = 5 \times 10^{-4} \text{ m}$ 的气隙,问铁心中激励 1 Wb/m^2 的磁通密度时,所需的励磁磁势为多少?考虑到气隙磁场的边缘效应,在计算气隙的有效面积时,通常在长、宽方面各增加一个长度 δ' ($\delta' \approx 1\% \delta$)值。

解 该题可用磁路欧姆定律,也可用磁路克希荷夫第二定律求解。

(1)用磁路欧姆定律 $F = \phi \sum R_m$

$$\text{磁通量 } \phi = BA = 1 \times 9 \times 10^{-4} = 9 \times 10^{-4} \text{ Wb}$$

$$\text{铁心磁阻 } R_{m\text{Fe}} = \frac{l_{\text{Fe}}}{\mu_{\text{Fe}} A} = \frac{(3000 - 5) \times 10^{-4}}{5 \times 10^3 \times 4\pi \times 10^{-7} \times 9 \times 10^{-4}} = 5.29 \times 10^4 \text{ A/Wb}$$

$$\text{气隙磁阻 } R_{m\delta} = \frac{5 \times 10^{-4}}{4\pi \times 10^{-7} (3 + 0.05) (3 + 0.05) \times 10^{-4}} = 42.77 \times 10^4 \text{ A/Wb}$$

$$\text{总磁阻 } \sum R_m = R_{m\text{Fe}} + R_{m\delta} = 48.06 \times 10^4 \text{ A/Wb}$$

$$\text{励磁磁动势 } F = \phi \sum R_m = 9 \times 10^{-4} \times 48.06 \times 10^4 = 432.6 \text{ A}$$

(2)用磁路克希荷夫第二定律 $F = \sum H_i l_i$

$$\text{铁心磁场强度 } H_{\text{Fe}} = \frac{B_{\text{Fe}}}{\mu_{\text{Fe}}} = \frac{1}{5 \times 10^3 \times 4\pi \times 10^{-7}} = 159 \text{ A/m}$$

$$\text{气隙磁场强度 } H_{\delta} = \frac{B_{\delta}}{\mu_0} = \frac{1 \times \frac{9}{3.05^2}}{4\pi \times 10^{-7}} = 77 \times 10^4 \text{ A/m}$$

$$\text{铁心磁压降 } H_{\text{Fe}} l_{\text{Fe}} = 159 \times 0.2995 = 57.6 \text{ A}$$

$$\text{气隙磁压降 } H_{\delta} l_{\delta} = 77 \times 10^4 \times 5 \times 10^{-4} = 375 \text{ A}$$

$$\text{励磁磁动势 } F = H_{\text{Fe}} l_{\text{Fe}} + H_{\delta} l_{\delta} = 432.6 \text{ A}$$

由此可见,气隙虽然很短,仅 $5 \times 10^{-4} \text{ m}$,但其磁阻及磁压降却占整个磁路的 89%。另外,由于磁路是非线性的, μ_{Fe} 常常无法事先给定,所以,虽然原则上两种解法都是可行的,但是实际计算时都用后一种解法。